



# Hidrogenação do CO<sub>2</sub> a Metano Utilizando Catalisadores de Níquel Suportados em Nióbia e Alumina

Brenda L. H. Ru<sup>1</sup>, Mariana M. V. M. Souza<sup>1</sup>, Robinson L. Manfro<sup>1\*</sup>

<sup>1</sup>Laboratório de Tecnologias do Hidrogênio, Escola de Química, Universidade Federal do Rio de Janeiro, Rio de Janeiro, RJ, Brasil. Email: robinson@eq.ufrj.br

#### Resumo/Abstract

RESUMO - O dióxido de carbono (CO<sub>2</sub>) é um dos gases que mais contribuem para o aquecimento global. A metanação do CO<sub>2</sub> surge como alternativa promissora para reduzir suas emissões e atender à demanda energética via conversão em metano (CH<sub>4</sub>). Este trabalho visou desenvolver e avaliar catalisadores de níquel suportados em nióbia e alumina, buscando alta atividade e seletividade na produção de CH<sub>4</sub>. A nióbia foi usada por suas propriedades que favorecem a queima de coque e a interação metal-suporte. Catalisadores com 20 % m/m de NiO e teores de nióbia de 0, 5, 10 e 20 % m/m foram sintetizados por impregnação úmida e calcinados a 650 °C. As amostras foram caracterizadas por DRX, FRX, fisissorção de N<sub>2</sub>, TPR e TPD-NH<sub>3</sub>. Os testes catalíticos ocorreram com catalisadores reduzidos a 800 °C, vazão de 200 mL/min, razão molar H<sub>2</sub>/CO<sub>2</sub> = 4 e temperatura de 200 a 450 °C. Todos os catalisadores aumentaram a conversão do CO<sub>2</sub> até 400 °C, com leve perda de seletividade a 450 °C. Nos testes de estabilidade a 400 °C por 30 h, as conversões médias de CO<sub>2</sub> e seletividades a CH<sub>4</sub> foram: NiAl (55 %, 87 %), Ni5NbAl (56 %, 88 %), Ni10NbAl (44 %, 83 %) e Ni20NbAl (18 %, 70 %), sem perda de atividade.

Palavras-chave: Hidrogenação, Dióxido de carbono, Metanação, Níquel.

ABSTRACT - Carbon dioxide (CO<sub>2</sub>) is one of the most significant contributor gas to the global warming intensification. CO<sub>2</sub> methanation emerges as a promising route to reduce emissions and meet energy demand by converting CO<sub>2</sub> into methane (CH<sub>4</sub>). This work aimed to develop and evaluate nickel-based catalysts supported on niobia and alumina, targeting high activity and selectivity for CH<sub>4</sub> production. Niobia was used for its properties that enhance coke burning and metal-support interaction. Catalysts with 20 % wt NiO and niobia contents of 0, 5, 10, and 20 % wt were synthesized by wet impregnation and calcined at 650 °C. The samples were characterized by XRD, XRF, N<sub>2</sub> physisorption, TPR, and NH<sub>3</sub>-TPD. Catalytic tests were conducted with catalysts reduced at 800 °C, using a flow rate of 200 mL/min, H<sub>2</sub>/CO<sub>2</sub> molar ratio of 4, and temperatures ranging from 200 to 450 °C. All catalysts increased CO<sub>2</sub> conversion up to 400 °C, with a slight loss of selectivity at 450 °C. In the stability tests at 400 °C for 30 h, the average CO<sub>2</sub> conversions and CH<sub>4</sub> selectivities were: NiAl (55 %, 87 %), Ni5NbAl (56 %, 88 %), Ni10NbAl (44 %, 83 %), and Ni20NbAl (18 %, 70 %), with no loss of activity.

Keywords: Hydrogenation, Carbon dioxide, Methanation, Nickel.

# Introdução

Desde a Revolução Industrial, os combustíveis fósseis tornaram-se essenciais para a produção de energia e insumos químicos, apesar de sua finitude e do esgotamento dos recursos naturais (1). A combustão desses combustíveis é a principal fonte de emissões de CO<sub>2</sub>, gás de efeito estufa com grande impacto no aquecimento global. Frente ao aumento contínuo das concentrações atmosféricas de CO<sub>2</sub> e à dependência de fontes fósseis, a conversão do CO<sub>2</sub> em compostos de maior valor agregado surge como estratégia promissora (2).

A metanação do CO<sub>2</sub> é uma rota catalítica relevante, gerando metano (CH<sub>4</sub>), combustível que pode atender parte da demanda energética (3). Catalisadores de níquel são amplamente estudados por sua alta atividade e baixo custo, embora apresentem tendência à formação de coque (4). O uso de suportes óxidos metálicos é amplamente estudado na literatura por proporcionarem modificações nas propriedades da superfície catalítica, auxiliando no controle

do tamanho da partícula e estabilização das partículas de níquel devido à forte interação metal-suporte (5). Alguns suportes como Al<sub>2</sub>O<sub>3</sub> e Nb<sub>2</sub>O<sub>5</sub> podem reduzir a desativação do níquel, favorecendo a dispersão metálica e a estabilidade catalítica (6). Neste trabalho desenvolveu-se catalisadores de níquel suportados em nióbia e alumina, avaliando seu desempenho na metanação do CO<sub>2</sub> e a influência da nióbia na resistência à formação de coque.

# Experimental

Preparação dos catalisadores

Foram preparados quatro catalisadores de NiO suportados em  $\gamma$ -Al<sub>2</sub>O<sub>3</sub> e Nb<sub>2</sub>O<sub>5</sub> de composição 20 % m/m NiO-xNb<sub>2</sub>O<sub>5</sub>-Al<sub>2</sub>O<sub>3</sub> (denominados como NixNbAl), com x igual a 0, 5, 10 ou 20 % m/m. A alumina (BASF) foi inicialmente calcinada a 500 °C (10 °C/min) por 3 h. O nitrato de níquel (Sigma-Aldrich) e o oxalato amoniacal de nióbio (CBMM) foram dissolvidos separadamente em água destilada e deionizada para atingir as concentrações



desejadas. As soluções foram adicionadas à alumina calcinada em balão. Em seguida, o balão foi acoplado a um rotaevaporador (IKA RV 10 Digital), sob rotação de 100 rpm à temperatura ambiente por 1 h. Após homogeneização, o excesso de solvente foi removido por evaporação a 70 °C sob vácuo. O material obtido passou por uma secagem em estufa a 100 °C por 24 h e, posteriormente, foi calcinado a 650 °C (10 °C/min) por 3 h sob fluxo de ar (60 mL/min).

## Caracterização dos catalisadores

A composição química dos catalisadores calcinados foi determinada pela técnica de fluorescência de raios X (FRX) usando um espectrômetro Rigaku, modelo Primini, com tubo gerador de raios X de paládio. As amostras, na forma de pó, foram depositadas em suportes apropriados e cobertas com filme de polipropileno para as análises.

As propriedades texturais foram determinadas por fisissorção de N<sub>2</sub> em um equipamento Tristar 3000. A área específica foi calculada pelo método BET e o volume de poros pelo método BJH, a partir da isoterma de adsorção. As amostras, previamente reduzidas *ex situ* sob as mesmas condições da reação (temperatura definida por TPR), foram secas a 300 °C sob vácuo por 24 h. Após nova pesagem, a análise de fisissorção de N<sub>2</sub> foi realizada a -196 °C para obtenção das isotermas de adsorção e dessorção em diferentes pressões parciais.

A identificação das fases cristalinas dos materiais sintetizados foi realizada por difração de raios X em um difratômetro Rigaku Miniflex II, com radiação CuKα (30 kV, 15 mA). As análises foram feitas em varredura de 2θ entre 5° e 90°, com passo de 0,05° e tempo de contagem de 1 s por passo. Os dados ICDD (International Center for Diffraction Data) foram utilizados como referência para identificação das fases cristalinas a partir dos padrões de difração formados. A partir dos difratogramas dos catalisadores reduzidos, foi calculado o diâmetro médio dos cristais de níquel através da equação de Scherrer e, então, a dispersão do níquel pode ser estimada de acordo com equação de Anderson (7).

A redução a temperatura programada (TPR) forneceu os perfis de redução dos catalisadores sintetizados, permitindo a determinação do grau de redução e a facilidade de redução dos elementos presentes. A análise foi realizada em reator de quartzo com bulbo, utilizando cerca de 50 mg de catalisador (equivalente a 10 mg de NiO). O sistema contava com forno controlado, válvulas micrométricas, alimentação de gases (2 % H<sub>2</sub>/Ar e Ar puro) e detector de condutividade térmica (TCD). Inicialmente, as amostras foram préaquecidas até 150 °C (10 °C/min) sob 30 mL/min de Ar por 30 min para remoção de umidade, e então resfriadas até a temperatura ambiente. Após estabilização do sinal do TCD, foi realizada a rampa de aquecimento até 1000 °C (10 °C/min) sob fluxo de 2 % H<sub>2</sub>/Ar (30 mL/min), obtendo-se o perfil de redução.



A acidez dos catalisadores foi avaliada por dessorção à temperatura programada de amônia (TPD-NH<sub>3</sub>), realizada com 150 mg de catalisador em reator de quartzo com bulbo. O sistema contava com forno controlado, linhas de alimentação de gases (4 % NH<sub>3</sub>/He e He puro) e espectrômetro de massa QME-220 (Pfeiffer), utilizando razão m/z = 15 para quantificação da NH<sub>3</sub>. As amostras foram reduzidas *in situ* a 800 °C (10 °C/min) sob 2 % H<sub>2</sub>/Ar (30 mL/min) por 30 min e resfriadas sob He. A adsorção de NH<sub>3</sub> foi realizada a 70 °C com 4 % NH<sub>3</sub>/He (30 mL/min) por 30 min, seguida de purga com He puro por 60 min. A dessorção foi conduzida até 1000 °C a 20 °C/min sob fluxo de He (30 mL/min).

#### Testes catalíticos

Os testes catalíticos foram realizados em unidade reacional de fluxo contínuo, com linhas aquecidas a 140 °C, empregando reator de quartzo de leito fixo à pressão atmosférica. A unidade também comporta um forno com controle de temperatura, linhas com os gases necessários e controladores de vazão. Foi utilizado uma massa de 50 mg de catalisador diluída em 250 mg de carbeto de silício. Antes de cada reação, os catalisadores foram reduzidos in situ a 800 °C (10 °C/min) durante 30 min, empregando uma mistura redutora composta por 33 % H<sub>2</sub>/N<sub>2</sub> com vazão total de 90 mL/min. A temperatura de redução foi definida com base nos resultados obtidos a partir da análise do TPR. Os testes reacionais foram realizados utilizado uma vazão total de 200 mL/min composta por 143 mL/min da mistura 10 % CO<sub>2</sub>/He e 57 mL/min de H<sub>2</sub> puro, representando com a razão molar  $H_2/CO_2 = 4$  e uma velocidade espacial 240.000 mL/g<sub>cat</sub>.h. Os produtos da reação foram analisados on-line por cromatografia gasosa utilizando uma coluna Carboxen 1010 e detector de condutividade térmica (TCD). Foram realizados testes catalíticos em diferentes temperaturas de 200 °C a 450 °C a um intervalo de 50 °C. No segundo conjunto de reações, foram executados testes de estabilidade catalítica durante 30 h a 400 °C.

# Resultados e Discussão

Caracterização dos catalisadores

A Tabela 1 apresenta a composição química dos catalisadores calcinados a 650 °C. As porcentagens de NiO ficaram próximas ao valor teórico, enquanto discrepâncias maiores foram observadas para o valor nominal e real do Nb<sub>2</sub>O<sub>5</sub>, atribuídas a possíveis erros na preparação, como pesagem ou umidade do precursor, ou a limitações da análise semiquantitativa.

A análise textural dos catalisadores reduzidos, obtida por fisissorção de N<sub>2</sub> (Tabela 2), mostrou que teores de 5 e 10 % m/m de nióbia não alteraram significativamente a área específica, o volume e o diâmetro médio de poros em relação ao catalisador sem nióbia, havendo apenas leve aumento de área e pequena redução no diâmetro dos poros.



Já com 20 % m/m de nióbia, observou-se redução nas propriedades texturais, efeito também relatado em (8) e (9), atribuído à menor área específica da nióbia e possível bloqueio de poros da alumina. As isotermas de adsorção-dessorção de N<sub>2</sub> (resultados não apresentados) apresentaram perfil tipo IV com histerese H3, característico de materiais mesoporosos com poros em fenda formados por agregados de partículas em forma de placa (10).

**Tabela 1.** Resultados obtidos pela análise de FRX para os catalisadores sintetizados e calcinados a  $650\,^{\circ}\text{C}$  (% m/m).

Catalisador	NiO		Nb <sub>2</sub> O <sub>5</sub>		Al <sub>2</sub> O <sub>3</sub>	
	Teórica	Real	Teórica	Real	Teórica	Real
NiAl	20	19,2	-	-	80	80,8
Ni5NbAl	20	19,5	5	3,1	75	77,4
Ni10NbAl	20	20,7	10	7,0	70	72,3
Ni20NbAl	20	21,0	20	14,8	60	64,2

**Tabela 2.** Área específica, volume de poros e diâmetro médio de poros referente aos catalisadores reduzidos.

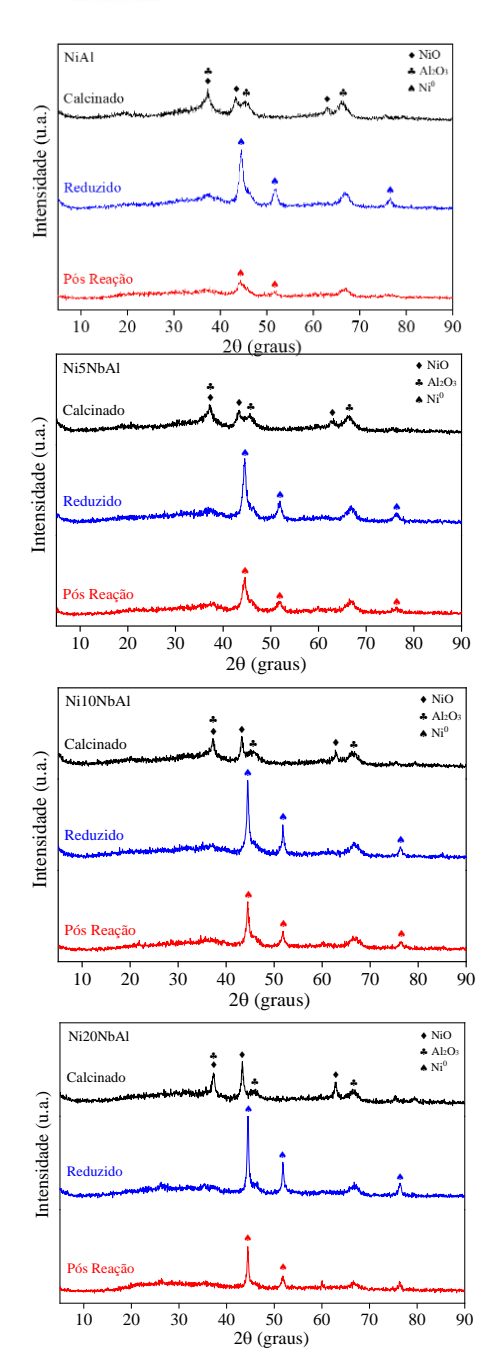
Catalisador	Área BET (m²/g <sub>cat</sub> )	Volume de poros (cm³/g <sub>cat</sub> )	Diâmetro médio de poros (Å)
NiAl	178	0,59	132
Ni5NbAl	181	0,56	123
Ni10NbAl	184	0,54	117
Ni20NbAl	157	0,40	101

Os difratogramas de raios X dos catalisadores calcinados, reduzidos *ex situ* e pós-reação estão apresentados na Figura 1. Nos catalisadores calcinados, foram identificados picos de NiO (JCPDS 47-1049), enquanto nos catalisadores reduzidos surgiram picos de Ni metálico (JCPDS 04-0850), confirmando a eficiência da redução. Picos de γ-Al<sub>2</sub>O<sub>3</sub> (JCPDS 86-1410) foram observados em todas as amostras, sem identificação de picos de Nb<sub>2</sub>O<sub>5</sub>, indicando sua alta dispersão na alumina (10).

Nos catalisadores pós-reação de estabilidade (400 °C/30 h), não foram detectados picos de coque (20  $\approx 26^\circ$ ), sugerindo baixa deposição de carbono e manutenção da fase metálica. O diâmetro médio dos cristalitos de Ni $^0$  foi calculado pela equação de Scherrer usando o pico  $2\theta = 51,8^\circ$ , conforme apresentado na Tabela 3. Os catalisadores NiAl e Ni5NbAl apresentaram tamanhos de cristalitos semelhantes, indicando que 5 % de nióbia não impacta a dispersão metálica. Já o Ni20NbAl exibiu maior tamanho de cristalito e menor dispersão, atribuídos à migração de NbO $_x$  para a superfície durante a redução (12).

Após os testes catalíticos, os tamanhos médios dos cristalitos mostraram tendência de diminuição, principalmente para o Ni20NbAl, possivelmente devido à redistribuição do Ni, favorecendo menor formação de coque (13). Resultados semelhantes foram observados na literatura (8, 14).





**Figura 1.** Difratogramas dos catalisadores NiAl, Ni5NbAl, Ni10NbAl e Ni20NbAl calcinados a 650 °C, reduzidos a 800 °C e pós reação de estabilidade (30 h).

**Tabela 3.** Tamanho médio de cristalitos de níquel metálico e dispersão metálica dos catalisadores reduzidos e pós-reação (30 h).

	Reduzido		Pós-reação		
Catalisador	Tamanho cristalito (nm)	Dispersão (%)	Tamanho cristalito (nm)	Dispersão (%)	
NiAl	$8,6 \pm 0,7$	11,7	-	-	
Ni5NbAl	$8,7 \pm 0,7$	11,6	$7,6 \pm 1,0$	13,3	
Ni10NbAl	$14,5 \pm 1,4$	6,9	$13,3 \pm 1,7$	7,6	
Ni20NbAl	$21,3\pm2,6$	4,7	$14{,}5\pm1{,}6$	6,9	



Pelos perfis de TPR dos catalisadores calcinados (Figura 2), observa-se que o aumento do teor de nióbia favorece a formação de espécies de níquel com fraca interação com a alumina, evidenciada pelo surgimento de picos de redução em torno de 400 °C. Conforme a literatura (15), NiO pode apresentar três formas: mássico (pico ~400 °C), interagindo com a alumina (400–700 °C) e incorporado como NiAl<sub>2</sub>O<sub>4</sub> (>700 °C). O perfil do NiAl exibe um amplo pico centrado em ~800 °C, indicando forte interação e possível formação de aluminato de níquel, ainda que não detectada nos difratogramas de DRX.

O Ni5NbAl apresenta perfil semelhante ao NiAl, mas com leve pico de redução a 380 °C, sugerindo enfraquecimento da interação níquel-suporte. Nos catalisadores Ni10NbAl e Ni20NbAl, o pico de baixa temperatura de redução se intensifica com o aumento da nióbia, enquanto picos sobrepostos entre 630 e 800 °C indicam diferentes interações de NiO com o suporte.

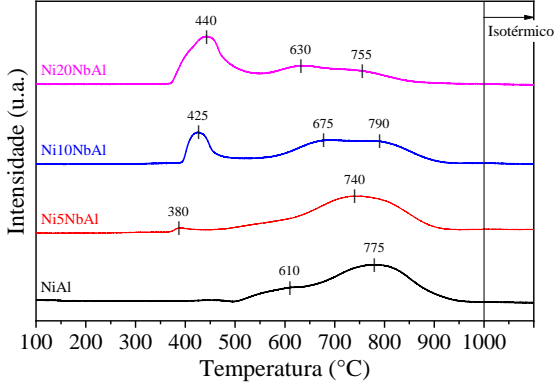
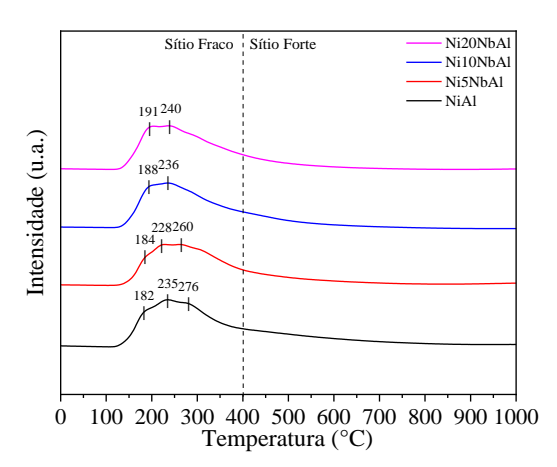


Figura 2. Perfis de redução dos catalisadores calcinados.

Os graus de redução dos catalisadores (Tabela 4), calculados pela razão entre o consumo experimental de H<sub>2</sub> e o teórico baseado no teor de NiO por FRX, mostrou que a adição de nióbia diminui levemente o grau de redução, possivelmente pela cobertura de partículas de níquel por espécies de NbO<sub>x</sub>, reduzindo a dispersão e dificultando a redução de Ni<sup>2+</sup> para Ni<sup>0</sup> (12). Essa diminuição de 89 % (NiAl) para 80 % (Ni20NbAl) pode impactar negativamente a atividade catalítica dos materiais com maior teor de nióbia.

Os perfis de TPD-NH<sub>3</sub> dos catalisadores reduzidos (Figura 3) mostraram picos concentrados em sítios ácidos fracos (<400 °C) (18). A acidez total, obtida por integração dos perfis e normalizada pela área específica, está apresentada na Tabela 5. Os catalisadores exibiram distribuições semelhantes de sítios fracos (72-83 %) e fortes (17-28 %), com acidez total entre 375 e 429 µmol NH<sub>3</sub>/g. A adição de nióbia promoveu leve aumento na densidade ácida (µmol NH<sub>3</sub>/m²). Resultados similares foram observados na literatura (9, 19-20), confirmando o aumento da acidez com a adição de Nb<sub>2</sub>O<sub>5</sub> à alumina.





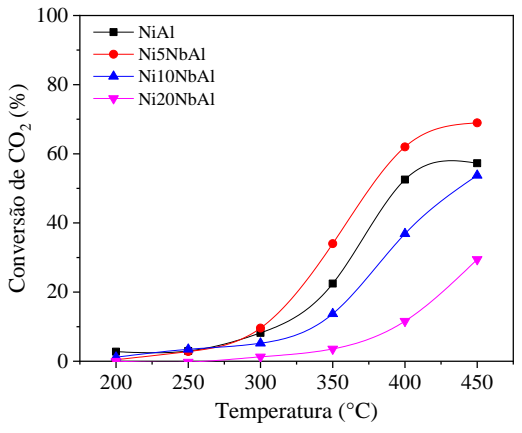
**Figura 3.** Perfis de dessorção de NH<sub>3</sub> dos catalisadores calcinados a 650 °C e reduzidos in situ a 800 °C por 1 h.

**Tabela 4.** Distribuição dos sítios ácidos, quantificação e densidade obtidos a partir da análise de TPD-NH<sub>3</sub> e grau de redução (GR).

Catalisador	Sítios ácidos (%)		μmol NH3/g	μmol NH3/m²	GR (%)
	Fraco	Forte			
NiAl	72	28	375	2,10	89
Ni5NbAl	75	25	400	2,21	85
Ni10NbAl	79	21	429	2,33	81
Ni20NbAl	83	17	389	2,47	80

#### Testes catalíticos

A avaliação do efeito da temperatura nas reações de metanação do CO<sub>2</sub> revelou conversões praticamente nulas a 200 °C. No entanto, com o aumento da temperatura, observou-se um aumento progressivo da conversão até 400 °C, temperatura na qual a conversão se estabilizou (Figura 4). Esse comportamento indica a necessidade de temperaturas mais elevadas para a ativação das moléculas

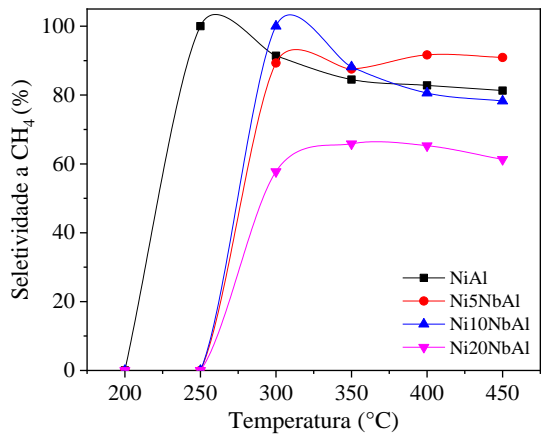


de CO2, devido à sua elevada estabilidade.

**Figura 4.** Conversão de CO<sub>2</sub> na metanação do CO<sub>2</sub> em função da temperatura para os catalisadores NiAl, Ni5NbAl, Ni10NbAl e Ni20NbAl.



Os maiores valores de seletividade para CH4 foram alcançados em temperaturas mais baixas, na faixa de 250 a 300 °C. Nos testes catalíticos, os catalisadores NiAl, Ni10NbAl e Ni20NbAl apresentaram uma leve tendência de redução da seletividade para CH4 com o aumento da temperatura reacional (Figura 5). Em contraste, o catalisador Ni5NbAl não apenas exibiu os maiores valores de seletividade para CH4 em temperaturas mais elevadas, como também demonstrou notável estabilidade frente às variações de temperatura.

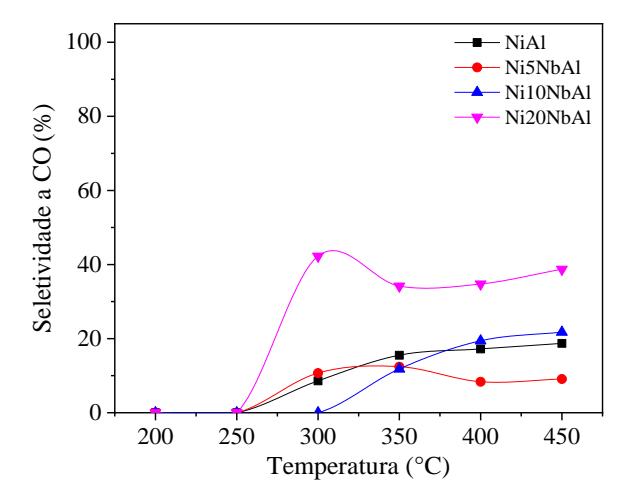


**Figura 5.** Seletividade a CH<sub>4</sub> na metanação do CO<sub>2</sub> em função da temperatura para os catalisadores NiAl, Ni5NbAl, Ni10NbAl e Ni20NbAl.

O principal subproduto da reação de metanação do CO<sub>2</sub> é o monóxido de carbono (CO), formado pela reação reversa de deslocamento gás-água (RWGS), a qual é favorecida com o aumento da temperatura. Dentre os catalisadores sintetizados, o catalisador Ni5NbAl foi o que apresentou as menores seletividades para o CO (Figura 6).

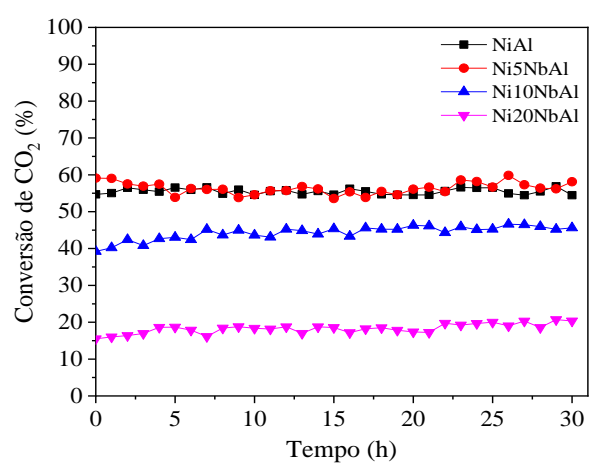
De modo geral, todos os catalisadores apresentaram comportamentos semelhantes, contudo, o Ni5NbAl destacou-se por alcançar as maiores conversões de CO<sub>2</sub>, associadas às maiores seletividades para CH<sub>4</sub> em temperaturas mais elevadas. Especificamente a 400 °C, esse catalisador atingiu uma conversão de 62%, com seletividade para CH<sub>4</sub> de 91%. Assim, com base nos resultados, os catalisadores podem ser ordenados da seguinte forma: Ni5NbAl > NiAl > Ni10NbAl > Ni20NbAl. O Ni20NbAl apresentou o pior desempenho em toda a faixa avaliada, indicando que teores de nióbia acima de 5 % prejudicam a atividade catalítica.





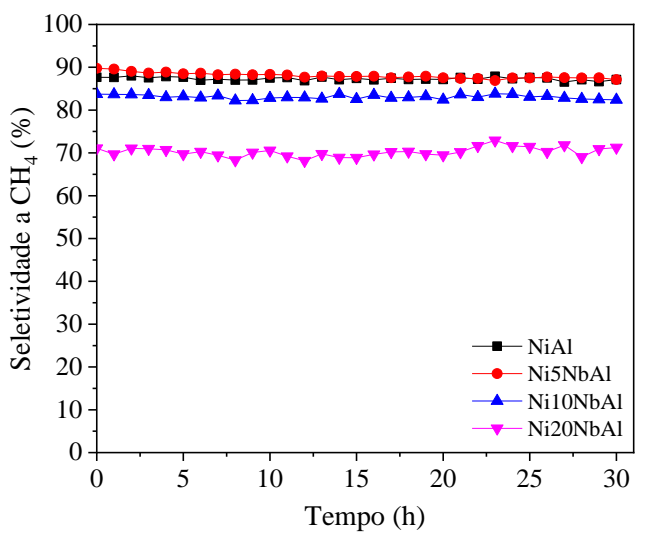
**Figura 6.** Seletividade a CO na metanação do CO<sub>2</sub> em função da temperatura para os catalisadores NiAl, Ni5NbAl, Ni10NbAl e Ni20NbAl.

A estabilidade dos catalisadores foi avaliada ao longo de 30 horas a 400 °C. Essa temperatura foi selecionada por maximizar simultaneamente a conversão e a seletividade para CH<sub>4</sub>, sem comprometer a limitação termodinâmica da reação (21). Os catalisadores NiAl e Ni5NbAl apresentaram os melhores desempenhos, com conversões médias de CO2 entre 55% e 56% e seletividades para CH<sub>4</sub> entre 87% e 88% (Figuras 7 e 8). O catalisador Ni10NbAl exibiu desempenho intermediário, com conversão de 44% e seletividade de 83%, enquanto o Ni20NbAl apresentou o pior desempenho, com conversão de 18% e seletividade de 70%. A adição de 5% de nióbia resultou em um leve incremento no rendimento de CH4 (50% para Ni5NbAl em comparação a 48% para NiAl); entretanto, teores superiores de nióbia reduziram a atividade catalítica. Todos os catalisadores mantiveram estabilidade durante o teste, sem evidências de sinterização ou formação de coque.



**Figura 7.** Conversão de CO<sub>2</sub> ao longo de 30 h para os catalisadores NiAl, Ni5NbAl, Ni10NbAl e Ni20NbAl.





**Figura 8.** Seletividade a CH<sub>4</sub> ao longo de 30 h para os catalisadores NiAl, Ni5NbAl, Ni10NbAl e Ni20NbAl.

#### Conclusões

A síntese por impregnação úmida foi eficaz, produzindo catalisadores com composições próximas às nominais. A adição de 20 % Nb<sub>2</sub>O<sub>5</sub> reduziu a área específica, volume e diâmetro de poros. O DRX confirmou a formação de NiO e sua redução a Ni<sup>0</sup>, sem detecção de Nb<sub>2</sub>O<sub>5</sub>, indicando alta dispersão. Os perfis de TPR mostraram que a nióbia induz a formação de espécies de NiO de fraca interação com o suporte. Verificou-se pelo TPD-NH3 que a adição de nióbia aumentou a densidade ácida. Nos testes de metanação, o aumento da temperatura até 400 °C elevou a conversão de CO<sub>2</sub> e com baixo impacto na seletividade a CH<sub>4</sub>. O catalisador Ni5NbAl apresentou o melhor desempenho em todas as temperaturas. Todos os catalisadores mostraram alta estabilidade durante o período avaliado (30h), com destaque para NiAl e Ni5NbAl, que alcançaram conversões médias de 55-56 % e seletividades a CH4 de 87-88 %. Não houve formação de coque durante os testes de estabilidade.

# Agradecimentos

Ao CNPq pelo suporte financeiro concedido. Ao Laboratório de Tecnologias Verdes (GreenTec/EQ/UFRJ) pelas análises de fisissorção de N<sub>2</sub> (BET).

### Referências

- 1. E. V. Kondratenko; G. Mul; J. Baltrusaitis; G. O. Larrazábal; J. Pérez-Ramírez, *Energy Environ. Sci.* **2013**, *6*, 3112-3135.
- 2. C. Song, Catalysis Today. 2006, 115, 2-32.
- 3. M. A. A. Aziz; A. A. Jalil; S. Triwahyono; A. Ahmadab, *Green Chem.* **2015**, *17*, 2647-2663.



- 4. W. M. Shen; J. A. Dumesic; C. G. Hill Jr., *Journal of Catalysis*. **1981**, *68*, 152-165.
- 5. Q. Pan; J. Peng; T. Sun; S. Wang; S. Wang, *Catalysis Communications*. **2014**, *45*, 74-78.
- 6. K. Tanabe, Catalysis Today. 2003, 78, 65-77.
- 7. Anderson JR. Structure of metallic catalysts. London: Academic Press; 1975.
- J. P. S. Q. Menezes; A. P. S. Dias; M. A. P. da Silva; M
  M. V. M. Souza, *Biomass and Bioenergy*. 2020, 143, 105882.
- 9. J. F. Gonçalves; M. M. V. M. Souza, *Catalysis Letters*. **2018**, *148*, 1478-1489.
- 10. K. S. W. Sing, Pure and Applied Chemistry. **1985**, *57*, 603-619.
- 11. M. A. Abdel-Rehim; A. C. B. dos Santos; V. L. L. Camorim; A. C. Faro Jr, *Applied Catalysis A: General.* **2006**, *305*, 211-218.
- 12. J. F. Gonçalves; M. M. V. M. Souza, *Current Catalysis*. **2020**, *9*, 80-89.
- 13. M. V. Corrente; R. L. Manfro; M. M.V.M. Souza, *Fuel.* **2024**, *368*, 131561.
- 14. Y. Matsumura; T. Nakamori, Applied Catalysis A: General. 2004, 258, 107-114.
- 15. J. M. Rynkowski; T. Paryjczak; M. Lenik, *Applied Catalysis A: General.* **1993**, *106*, 73-82.
- E. B. Pereira; M. M. Pereira; Y. L. Lam; C. A.C. Perez;
  M. Schmal, *Applied Catalysis A: General.* 2000, 197, 99-106.
- F. M. T. Mendes; C. A. Perez; R. R. Soares; F. B. Noronha; M. Schmal, *Catalysis Today*. **2003**, *78*, 449-459
- 18. A. Baiker; M. Maciejewski, *J. Chem. Soc., Faraday Trans. 1.* **1984**, *80*, 2331-2341.
- R. Rodrigues; N. Isoda; M. Gonçalves; F. C. A. Figueiredo; D. Mandelli; W. A. Carvalho, *Chemical Engineering Journal*. 2012, 198-199, 457-467.
- J. P. S. Q. Menezes; R. L. Manfro; M. M.V.M. Souza, International Journal of Hydrogen Energy. 2018, 43, 15064-15082.
- 21. J. Ashok; S. Pati; P. Hongmanorom; Z. Tianxi; C. Junmei; S. Kawi, *Catalysis Today*. **2020**, *356*, 471-489.